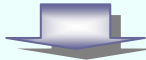


# 1 4 Algoritmi compoziti de tip FFT



## Exemple de algoritmi Cooley-Tukey compoziti, cu segmentare în timp

- Decada 1970-1980 a înregistrat o intensă activitate de proiectare a algoritmilor compoziti bazați pe ideea lui Cooley & Tukey.



### Algoritmi FFT-RADIX

Denumire sugerată de Limbajul **FORTRAN**, care indică **divizorul principal** sau **baza** duratei (în cazul factorizării de tipul  $P^L$ ).

$$N = P^L$$

sau

$$N \in P\mathbb{N}$$



### Algoritm FFT-RADIXP

- Cei mai populari algoritmi FFT compoziti: **RADIX3**, **RADIX4**, **RADIX16**, **RADIX32**, **RADIX64**.
- Exemplele care urmează: **RADIX3** & **RADIX4**.

#### Exemplul 1

#### Algoritmul compozit FFT-RADIX3

$$N = 3^L \quad \text{sau} \quad N = 3M \in 3\mathbb{N}$$

$$TFD_{3M}(x)[k] = \sum_{p=0}^{2} w_{3M}^{kp} TFD_M(x_p)[k \% M] \quad \forall k \in \overline{0, N-1}$$

$$TFD_M(x_p)[k] \stackrel{\text{def}}{=} X_p[k] = \sum_{m=0}^{M-1} \underbrace{x_p[m]}_{x_p[m]} w_M^{mk} \quad \begin{array}{l} \forall k \in \overline{0, M-1} \\ \forall p \in \overline{0, 2} \end{array}$$

Cooley-Tukey compozit-timp



$$\left\{ \begin{aligned} TFD_{3M}(x)[k] &= X[k] = w_{3M}^0 X_0[k] + w_{3M}^k X_1[k] + w_{3M}^{2k} X_2[k] \\ TFD_{3M}(x)[M+k] &= X[M+k] = w_{3M}^0 X_0[k] + w_3^1 w_{3M}^k X_1[k] + w_3^2 w_{3M}^{2k} X_2[k] \end{aligned} \right.$$

$w_3^1$  (simetrie)

$\forall k \in \overline{0, M-1}$

$$\left. \begin{aligned} TFD_{3M}(x)[2M+k] &= X[2M+k] = w_{3M}^0 X_0[k] + w_3^2 w_{3M}^k X_1[k] + w_3^1 w_{3M}^{2k} X_2[k] \end{aligned} \right.$$

# 1 4 Algoritmi compoziti de tip FFT

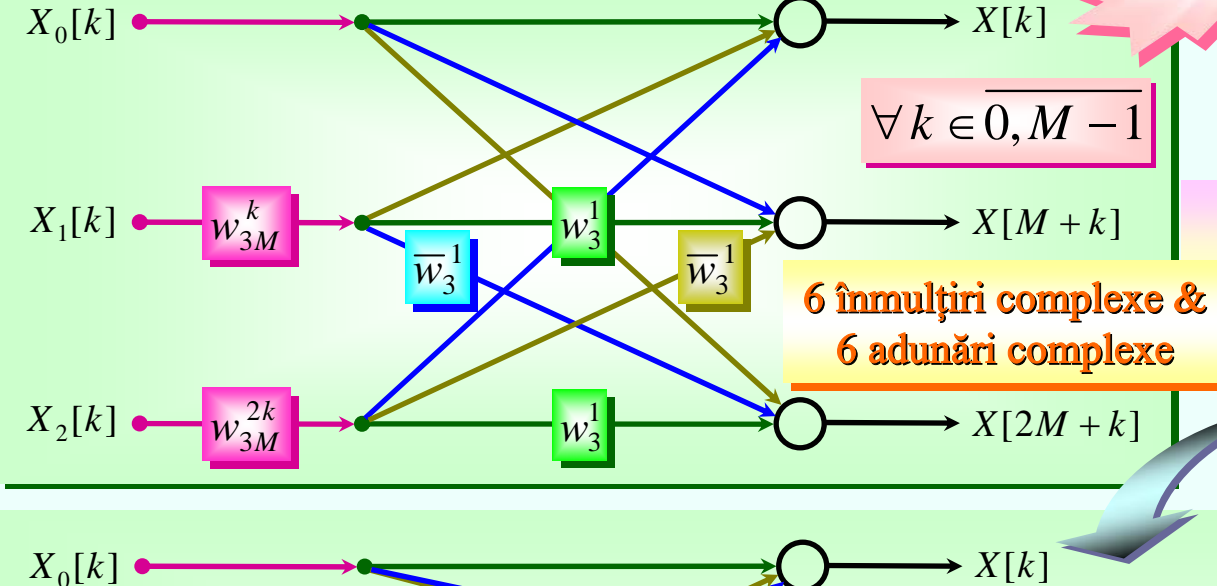


Exemple de algoritmi Cooley-Tukey compoziti, cu segmentare în timp (continuare)

## Exemplul 1

### Algoritmul compozit FFT-RADIX3 (continuare)

#### Blocul de calcul paralel



$$\mathcal{O}_{\text{RADIX3 atomic}} = [24]_0 + [24]_+$$

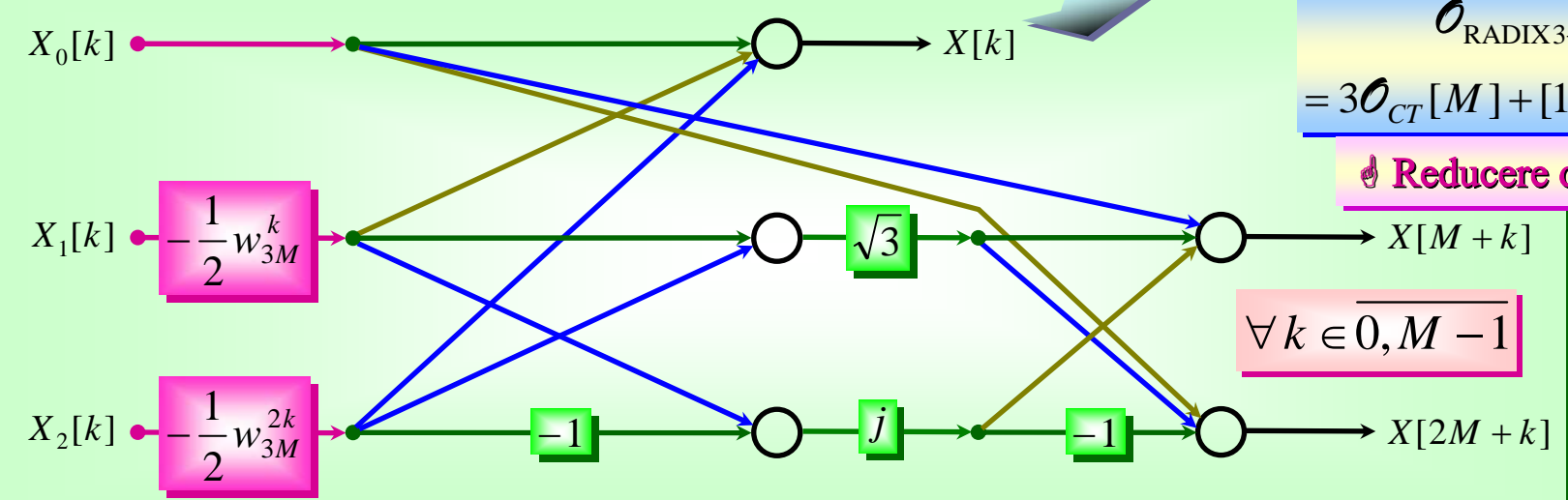
$$\begin{aligned} \mathcal{O}_{\text{RADIX3}}[3M] = \\ = 3\mathcal{O}_{CT}[M] + [24M]_0 + [24M]_+ \end{aligned}$$

↓ Efortul de calcul poate fi redus prin exploatarea totală a simetriei armonice interioare.

$$w_3^1 = -\frac{\sqrt{3}}{2} - j\frac{1}{2}$$

$$\begin{aligned} \mathcal{O}_{\text{RADIX3+}}[3M] = \\ = 3\mathcal{O}_{CT}[M] + [11M]_0 + [20M]_+ \end{aligned}$$

↓ Reducere de peste 2 ori.



# 1 4 Algoritmi compoziti de tip FFT



Exemple de algoritmi Cooley-Tukey compoziti, cu segmentare în timp

Exemplul 2

Algoritmul compozit FFT-RADIX4

$$N = 4^L$$

sau

$$N = 4M \in 4\mathbb{N}$$

$$TFD_{4M}(x)[k] = \sum_{p=0}^3 w_{4M}^{kp} TFD_M(x_p)[k \% M] \quad \forall k \in \overline{0, N-1}$$

$$TFD_M(x_p)[k] \stackrel{\text{def}}{=} X_p[k] = \sum_{m=0}^{M-1} \underbrace{x_p[m]}_{x_p[m]} w_M^{mk} \quad \forall k \in \overline{0, M-1}$$

$$\forall p \in \overline{0, 3}$$

Cooley-Tukey compozit-timp

$$TFD_{4M}(x)[k] = X[k] = w_{4M}^0 X_0[k] + w_{4M}^k X_1[k] + w_{4M}^{2k} X_2[k] + w_{4M}^{3k} X_3[k]$$

$$w_4^k = (-j)^k \quad \forall k \in \mathbb{Z}$$

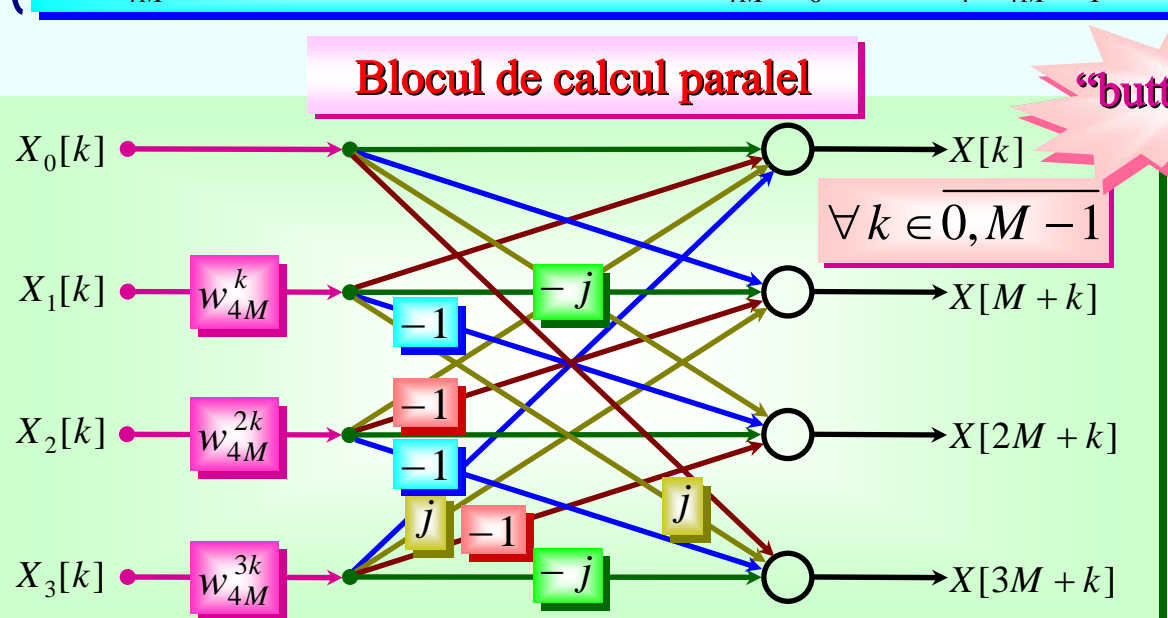
$$TFD_{4M}(x)[M+k] = X[M+k] = w_{4M}^0 X_0[k] + w_4^1 w_{4M}^k X_1[k] + w_4^2 w_{4M}^{2k} X_2[k] + w_4^3 w_{4M}^{3k} X_3[k]$$

$$TFD_{4M}(x)[2M+k] = X[2M+k] = w_{4M}^0 X_0[k] + w_4^2 w_{4M}^k X_1[k] + w_4^0 w_{4M}^{2k} X_2[k] + w_4^2 w_{4M}^{3k} X_3[k]$$

$$TFD_{4M}(x)[3M+k] = X[3M+k] = w_{4M}^0 X_0[k] + w_4^3 w_{4M}^k X_1[k] + w_4^2 w_{4M}^{2k} X_2[k] + w_4^1 w_{4M}^{3k} X_3[k]$$

$$\forall k \in \overline{0, M-1}$$

Blocul de calcul paralel



“butterfly”

3 înmulțiri complexe &  
12 adunări complexe

$$\mathcal{O}_{\text{atomic}}^{\text{RADIX4}} = [12]_{\bullet} + [30]_{+}$$

$$\begin{aligned} \mathcal{O}_{\text{RADIX4}}[4M] = \\ = 4\mathcal{O}_{CT}[M] + [12M]_{\bullet} + [30M]_{+} \end{aligned}$$

# 1 5 Problema estimării spectrale



## Clasa semnalelor deterministe

⇒ Valori unic determinate la fiecare moment al domeniului de definiție,  $\mathcal{T}$ .

⇒ Semnale total invariante la perturbații.

⇒ Clasa tradițională a semnalelor practice.

PS

Determinist

Autocovarianța unui semnal

Nedeterminist

$$r_f(\theta, \tau) \stackrel{\text{def}}{=} \int_{-\infty}^{+\infty} \int_{-\infty}^{+\infty} f(t - \theta) \overline{f(s - \tau)} dt ds, \quad \forall \theta, \tau \in \mathbb{R}$$

$$r_x[p, q] \stackrel{\text{def}}{=} \sum_{n \in \mathbb{Z}} \sum_{m \in \mathbb{Z}} x[n - p] \overline{x[m - q]}, \quad \forall p, q \in \mathbb{Z}$$

$(\theta, \tau)$   
 $[p, q]$

perechi de pivoți

$$r_f(\theta, \tau) \stackrel{\text{def}}{=} E\{f(\theta) \overline{f(\tau)}\} = \\ = \int_{-\infty}^{+\infty} \int_{-\infty}^{+\infty} \rho(f(\theta), \overline{f(\tau)}) f(\theta) \overline{f(\tau)} df(\theta) df(\tau), \quad \forall \theta, \tau \in \mathbb{R}$$

$$r_x[p, q] \stackrel{\text{def}}{=} E\{x[p] \overline{x[q]}\} = \\ = \int_{-\infty}^{+\infty} \int_{-\infty}^{+\infty} \rho(x[p], \overline{x[q]}) x[p] \overline{x[q]} dx[p] dx[q], \quad \forall p, q \in \mathbb{Z}$$

operatorul de  
mediere statistică



Spectrele semnalelor din aceste clase se evaluatează  
în mod diferit.

densitate de probabilitate

# 15 Problema estimării spectrale

## Spectrul unui semnal stabil **determinist**

$$\mathcal{S}_f(\Omega) \stackrel{\text{def}}{=} |F(j\Omega)|^2 = \int_{-\infty}^{+\infty} \int_{-\infty}^{+\infty} f(t) \overline{f(s)} e^{j\Omega(s-t)} dt ds \quad \forall \Omega \in \mathbb{R}$$

$$\mathcal{S}_x(\omega) \stackrel{\text{def}}{=} |X(e^{j\omega})|^2 = \sum_{n \in \mathbb{Z}} \sum_{m \in \mathbb{Z}} x[n] \overline{x[m]} e^{j\omega(m-n)} \quad \forall \omega \in \mathbb{R}$$

Ce relație există între spectru și densitatea spectrală de putere?



Un rezultat remarcabil relevă această relație.

## Teorema 9 (Wiener-Kintchine)

Pentru orice semnal continual sau discret stabil staționar care admite funcție de autocovarianță, spectrul coincide cu densitatea spectrală de putere:

$$\mathcal{S}_f(\Omega) = \Phi_f(\Omega) , \quad \forall \Omega \in \mathbb{R} ;$$

$$\mathcal{S}_x(\omega) = \Phi_x(\omega) , \quad \forall \omega \in \mathbb{R} .$$

Demonstrație

Exercițiu

## Spectrul unui semnal **nedeterminist**

Chiar dacă Operatorul Fourier poate fi aplicat unui semnal nedeterminist, rezultatul este tot un semnal nedeterminist.

Un semnal nedeterminist este **stabil** dacă funcția sa de autocovarianță este un semnal stabil.

## Semnale staționare

$$\Phi_f(\Omega)$$

$$\mathcal{S}_f(\Omega) \stackrel{\text{def}}{=} |R_f(j\Omega)|^2 = \int_{-\infty}^{+\infty} \int_{-\infty}^{+\infty} r_f(\tau) \overline{r_f(\theta)} e^{j\Omega(\theta-\tau)} d\theta d\tau \quad \forall \Omega \in \mathbb{R}$$

$$\mathcal{S}_x(\omega) \stackrel{\text{def}}{=} |R_x(e^{j\omega})|^2 = \sum_{k \in \mathbb{Z}} \sum_{p \in \mathbb{Z}} r_x[k] \overline{r_x[p]} e^{j\omega(p-k)} \quad \forall \omega \in \mathbb{R}$$

**densitate spectrală de putere**  
(psd = power spectrum density)

Densitatea spectrală de putere se poate defini identic și pentru semnalele deterministe.

# 15 Problema estimării spectrale

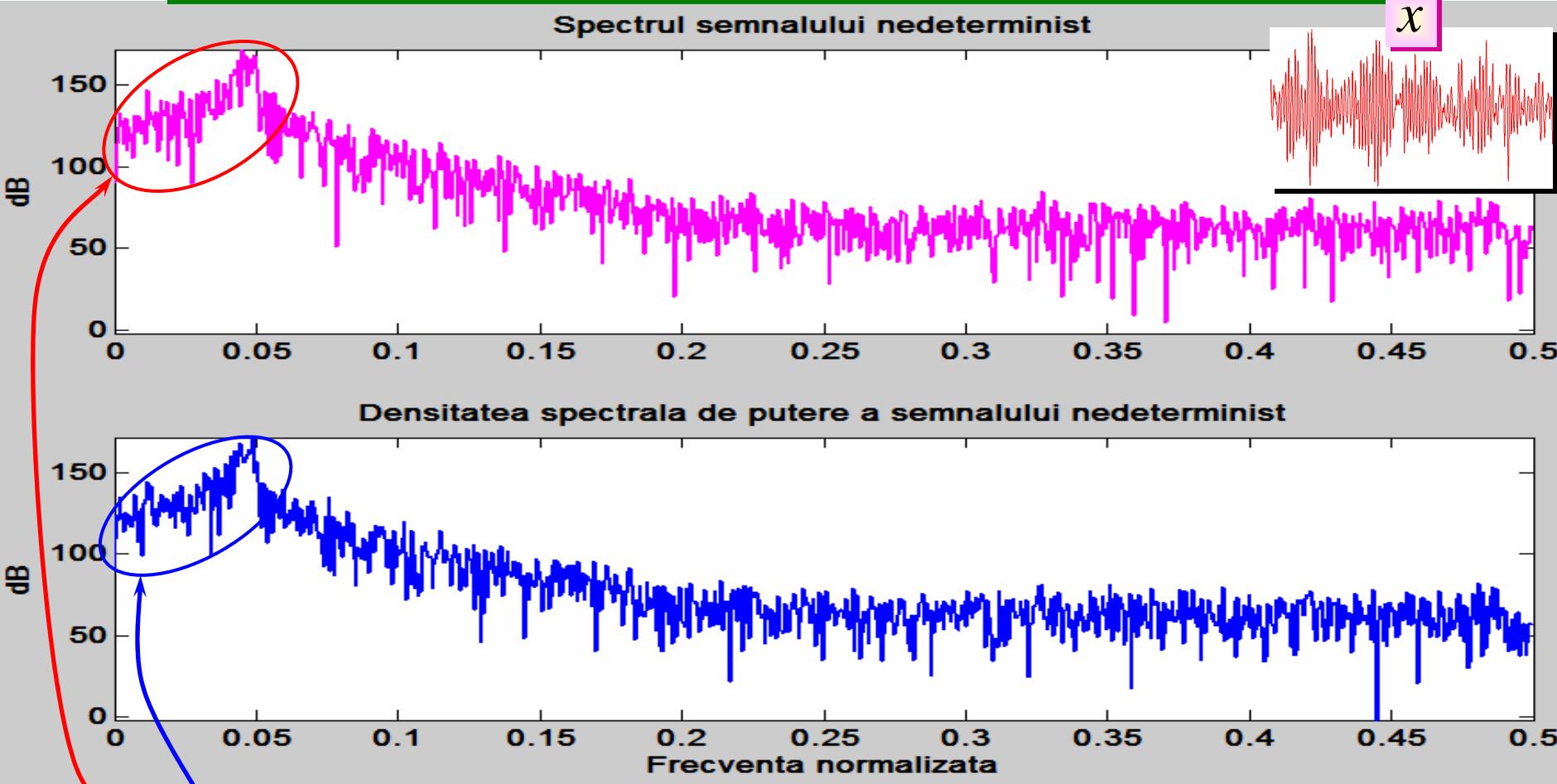


În cazul semnalelor nedeterministe, utilizarea densității spectrale de putere în locul spectrului conduce la **eliminarea zgomotului alb**.



↓ Zgomotele colorate nu sunt însă eliminate.

Densitatea spectrală de putere are doar un aspect (ușor) mai neted decât al spectrului.



↓ Observați dispersia ușor inferioară a celui de-al doilea grafic în jurul curbei mediane.

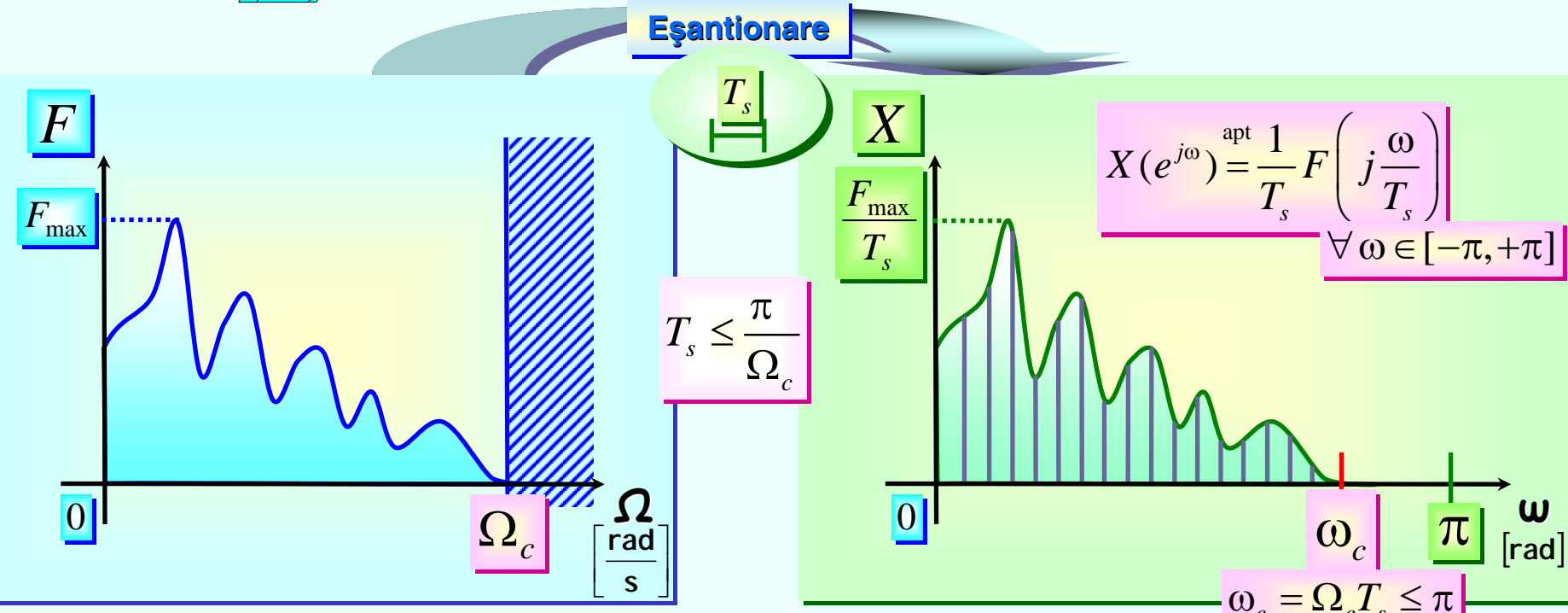
# 15 Problema estimării spectrale



Cum este influențat spectrul prin eșantionare și limitarea orizontului de măsură?



Prin eșantionare, informația spectrală este conservată, dacă se respectă **Regula lui Shannon-Nyquist**.

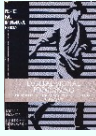


Limitarea orizontului de măsură produce însă **distorsiuni** mai mult sau mai puțin importante ale spectrului original.

⇒ În acest caz, reprezentarea spectrală se supune Principiului de incertitudine Gabor-Heisenberg.

# 1 5 Problema estimării spectrale

- Limitarea orizontului de măsură este echivalentă cu **extragerea unui segment** de semnal discret (izat) **cu ajutorul unei ferestre** (de exemplu, **dreptunghiulare**).



$y_m \equiv x \cdot (q^{-m} \mathcal{R}_N)$

$$Y_m \equiv \frac{1}{2\pi} X * \mathcal{F}(q^{-m} \mathcal{R}_N)$$

⇒ Teorema inversă de convecție periodică

$$Y_m(e^{j\omega}) = \frac{1}{2\pi} \int_{-\pi}^{+\pi} X(e^{j\mu}) \mathcal{F}(q^{-m} \mathcal{R}_N)(e^{j(\omega-\mu)}) d\mu \quad \forall \omega \in \mathbb{R}$$

$$Y_m(e^{j\omega}) = \frac{1}{2\pi} \int_{-\pi}^{+\pi} X(e^{j\mu}) \frac{\sin \frac{N(\omega-\mu)}{2}}{\sin \frac{\omega-\mu}{2}} e^{j(\omega-\mu)\left(\frac{N-1}{2}-m\right)} d\mu \quad \forall \omega \in \mathbb{R}$$

fereastra dreptunghiulară

$$\mathcal{F}(q^{-m} \mathcal{R}_N)(e^{j\omega}) = \frac{\sin \frac{N\omega}{2}}{\sin \frac{\omega}{2}} e^{j\omega\left(\frac{N-1}{2}-m\right)} \quad \forall \omega \in \mathbb{R}$$

(Exercițiu)

$$\mathcal{S}_{y_m}(\omega) = |Y_m(e^{j\omega})|^2 = \frac{1}{4\pi^2} \left| \int_{-\pi}^{+\pi} X(e^{j\mu}) \frac{\sin \frac{N(\omega-\mu)}{2}}{\sin \frac{\omega-\mu}{2}} e^{-j\mu\left(\frac{N-1}{2}-m\right)} d\mu \right|^2 \quad \forall \omega \in \mathbb{R}$$

⇒ Spectrul este distorsionat de operația de convecție cu TF a ferestrei de extracție.

- Alte tipuri de ferestre pot fi de asemenea utilizate.

Exercițiu

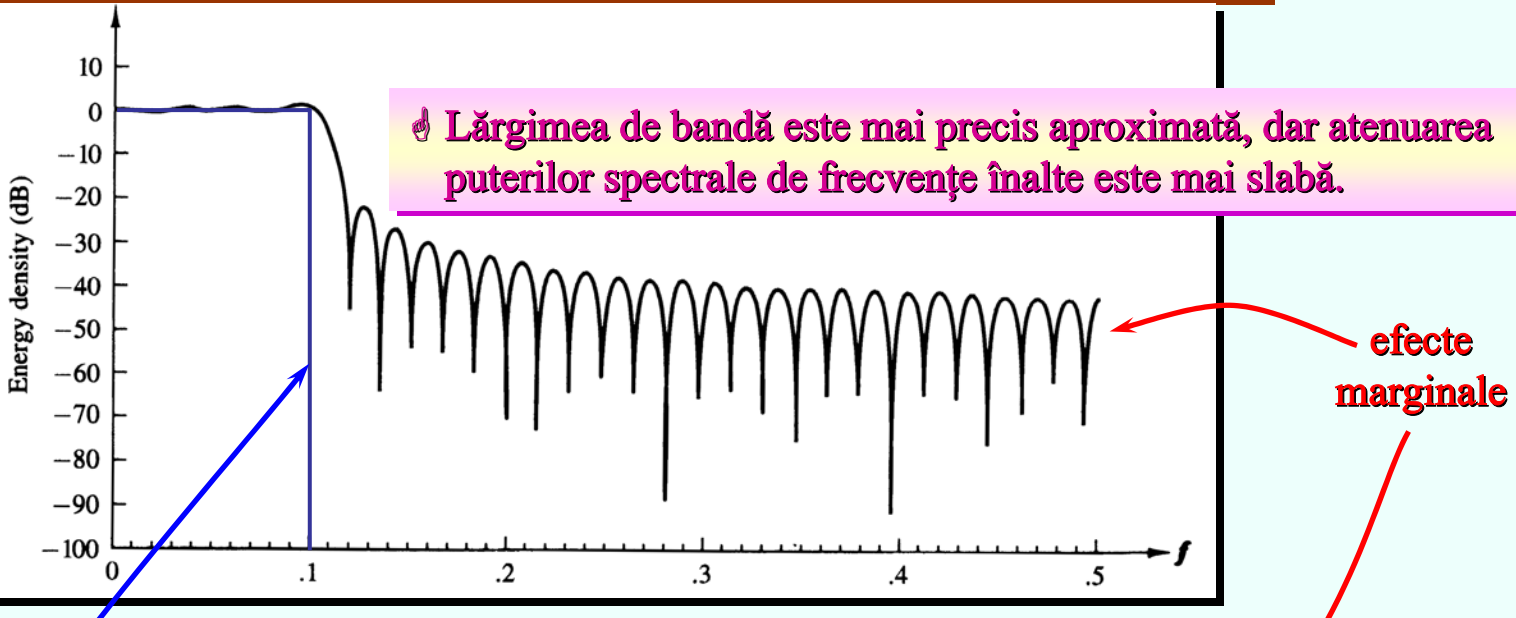
- Deducreți ecuația spectrului unui segment de semnal extras cu ajutorul unei **ferestre triunghiulare** (Bartlett).

# 15 Problema estimării spectrale



## Exemplul 1

Distorsiuni induse de fereastra dreptunghiulară asupra unui FTJ ideal



## Exemplul 2

Distorsiuni induse de fereastra trapezoidală asupra unui FTJ ideal

